

山口大学 正会員 加賀美 一二三  
 " " " 長谷川 博  
 " " " ○井 行 春 治

### 1. まえがき

現下、エーテリゼーションの増加と交通体系の確立のために、道路工事は全国的に施工されているが、路面舗装に於いては、ほとんどアスファルト舗装が主流を占めているといえる。このアスファルト舗装の技術上の欠陥としては、縫隙急傾斜部、曲線部のスリップ、および温度上昇による波打現象などがあげられる。ゆえに、これらの構造技術上の欠陥を防ぐために、こう石コンクリートによる舗装を考察することにした。こう石コンクリートとは、セメントと粗骨材と水を加えて練り混ぜてできたもので、いわゆる砂めきコンクリートである。

本報告は、こう石コンクリートに関する物理的、力学的諸性質を究明するため、4種の配合を決定し、ワーカビリティーの判定、適正配合の範囲の決定、および力学的性質などを如次上に、圧縮、引張、スリップ試験を行なったものである。

### 2. 実験方法

#### (1) 骨材試験(粗骨材)

粒径の範囲は、普通大小粒が適当に混合している連続粒度が望ましいとされているが、本実験的研究のこう石コンクリートは、単粒の組合せとして、 $5\sim 10\text{ mm}$ ,  $10\sim 15\text{ mm}$ ,  $15\sim 25\text{ mm}$ , および  $5\sim 25\text{ mm}$  の4組を粗骨材による影響を考察してみることとした。表-1は、粗骨材の物理試験結果である。

表-1

記号	粒径( $\text{mm}$ )	比重	单位容積重量	粗粒率	空隙率( $\%$ )
I	5~10	2.64	1462	—	55
II	10~15	2.67	1507	—	56
III	15~25	2.67	1524	—	57
IV	5~25	2.65	1575	6.90	59

#### (2) 圧縮、引張強度試験

圧縮、引張強度試験用供試体の製作は、 $\varnothing 10 \times 20\text{cm}$ の供試体を用い、養生は水温 $20 \pm 1^\circ\text{C}$ の恒温恒湿室で水中養生を所定の時間まで行なつた。両強度試験は、同一条件の供試体を各3個とし、材令14日で養生槽より取りだし重量を測定し、JIS A 1108、およびJIS A 1113により実施した。

#### (3) スリップ試験

コンクリートのスリップ試験機には種々あるが、本実験ではロサンゼルス試験機を用いて考察することとした。実験方法は、 $7 \times 7 \times 7\text{cm}^3$  積み重ねによる 6 個の  $7\text{cm}^3$  立方供試体を製作し、これを試料として週間の水中養生後 2 週間室中に放置して後、6 個の重量を計量し試験機へ投入、鋼球 12 個を入れ 500 回転した後、最初の重量に対する損失重量百分率を表わしたものである。

### 3. こう石コンクリートの配合について

#### (1) セメントペーストのコンシステンシー

こう石コンクリートは、セメントペーストと粗骨材とを練り混ぜてできるので、このワーカビリティは、ペーストのコンシステンシーによって、影響を受けることが多いと考えられるので、JIS-R-5201 の規格であるフロー試験を行なつた。

使用したセメントは、普通ポルトランドセメントと混和材としてフライアッシュをセメント重量の20%を添加した場合の各種類を用いた。図-1は、ヤーストのフロー試験結果である。

この図より、普通ポルトランドセメントとフライアッシュを添加した場合の両者の相違が認められる。本実験のヤーストのコンシスティンシーの範囲は、フロー値160~260の間が適切なコンシスティンシーと考え、水セメント比の範囲を30~40%の間に望むとした。

### (2) こう石コンクリートの試し練り

こう石コンクリートの配合計算としては、普通コンクリートのようだ参考となる資料がみあたらないので、試し練りにあたりては、強度、経済性とともに施工面を重視し、骨材空隙の危険と表面仕上げの点より、各材料(1パッチ=10L, 板厚=10~15mm,  $\gamma_c=25\text{t}/\text{m}^3$ , 水量=2.25L, セメント量=500kg, 粗骨材量=16.58kg)を計算し練りを実施した。写真はこのこう石コンクリートである。この試し練りの結果より検討すると、

1).  $\gamma_c=45\text{t}/\text{m}^3$ では、ヤーストと粗骨材が分離して13%の

で7%の範囲は前述のフロー試験に対するえられた30~40%の間によることを立証した。

2). セメント量につけては、これを普通コンクリートにあてはめると超富配合コンクリートになるものであるが、写真によるとまだヤーストで空隙を充填しているとは見えない。この関係は、ヤースト粗骨材容積比 $P$ (P:ベースの容積, A:粗骨材の容積)の大小れ

よ。で影響を受けるものであり、 $P$ の決定は十分に考慮しなければならぬ。

3). スランプの測定結果17cmであるが、これは材料の分離、粗骨材の崩落によって影響を受けたものであり、スランプ試験だけによつてワーカビリティーを判定することは望ましくない。

### (3) こう石コンクリートのワーカビリティーの測定方法

コンクリートのワーカビリティー試験は、種々考案されておりかこう石コンクリートの場合も前述のごとくあるので、本実験においては、図示のごときボックスフロー試験とコーンフロー試験を併用して、三者の測定結果より比較検討を実施した。

#### 1). ボックスフロー試験

実験の方法は、図-2の容器の中に試料を3層に分けて各層25回均等に充填して上面を打ちした後、仕切板を取り除いてこの後の試料の変化を、上面のひきだし、上面からのさがり(△)、下面の流出長さ(△)を測定し、傾斜角(β)を計算した。この試験の利点は、仕切板を取り去つて後の試料の変化を傾斜角で測定でき、特にプラスチックなコンクリートの判定が

図-1 ベースのフロー試験

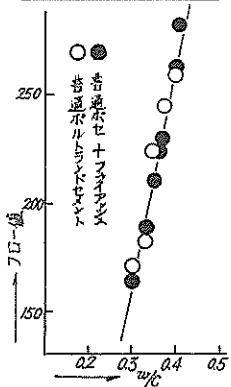
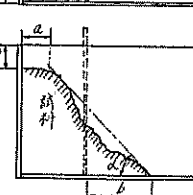
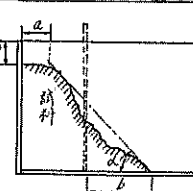
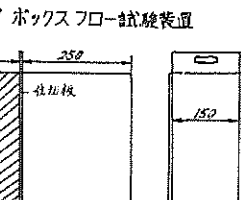
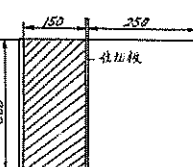
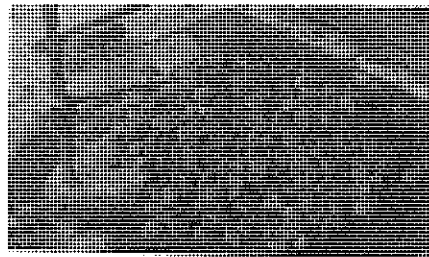


写真-1 こう石コンクリート



容易と考えられる。

## 2). コーンフロー試験

図-3に示す装置を用いてJISのエルタル試験と同様にコーン式試料を2層に分けて各層を15回均等に突き固めコーンを鉛直上方に静かに取り去り、その後の変化を上面からのさがり(a)とフローティアルにひろがった直径を最大方向(c)とそれと直角方向(b)を加えて平均した値をコーンフロー値とした。次にハンドルを回し15回落下運動を与えた後の変化を前と同様に測定した。この試験からは、15回落下を与えて試料を強制的に変化させるので、粒径による変化の状態、材料の分離に相違する度合などを知ることができるのが分かると思われる。

## (4). ニラ石コンクリートの配合

ニラ石コンクリートは特殊コンクリート 表-2

w/c (%)	PA (%)	無 添加 (kg/m <sup>3</sup> )			フライアッシュ添加 (kg/m <sup>3</sup> )			
		セメント	水	粗骨材	セメント	水	粗骨材	
32	40	148.1	143.4	1907.1	353.9	141.7	1002.8	885
	60	582.2	183.3	1668.7	462.6	185.3	164.0	115.7
	80	277.2	228.1	1683.3	546.0	218.7	1454.5	136.8
36	40	441.2	151.9	1907.1	336.2	150.1	1004.1	83.3
	60	514.7	193.5	1668.7	454.9	196.3	1643.2	109.0
	80	572.0	236.2	1683.3	515.2	231.8	1455.9	120.8
40	40	398.1	152.8	1907.1	314.9	152.5	1005.5	78.7
	60	522.7	209.1	1668.7	411.9	206.0	1644.0	103.0
	80	619.5	247.0	1683.3	487.0	243.5	1457.5	121.9

表-3は、昭和6年に道路研究会および内務省土木局が発行した、隅石舗装標準示方書の値を換算した配合である。

## (5). ニラ石コンクリートのワーカビリティについて

### 1). スランプ試験の結果および考察

スランプ試験の結果を図示すると図-4となり、この結果によればスランプ15~20cmの非常に軟らかくケループと、0cm付近のケループとが分かれれる。道路舗装には後者のものが適切なコンクリート配合と考えられ、これはPA=60%, 80%とw/c=32%~34%程度の配合となる。PA=40%ではスランプが15~20cmの間にあらかじめPA=40%にて影響を受けなくセメント量の不足により実際が大となり崩落現象を起したものである。

PA=60%および80%になるとセメント量が空隙に充満しPA=40%にてスランプの影響が明確になってくる。図中のフライアッシュを添加したコンクリートも同様の傾向を示している。

### 2). ボックスフロー試験の結果および考察

図-5は、ボックスフロー試験の測定値より傾斜角を計算し図示したもので、これより考察すると、傾斜角90°の場合に硬膜りで柱切板を取

図-5 コーンフロー試験装置

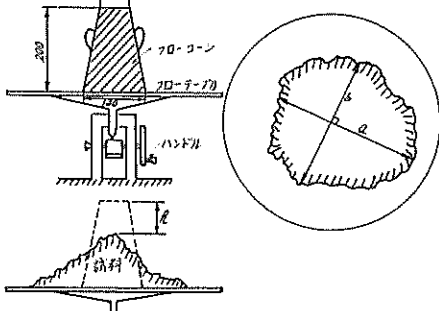
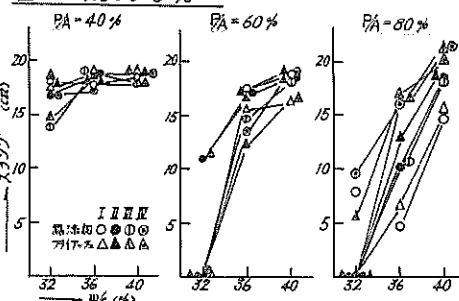


表-3

w/c (%)	PA (%)	C/A	w/c (%)	単位量 (kg)					
				セメント	水	粗骨材			
道路 研究会	45	27	32	440.6	110.9	1507.6			
内務省 土木局	33	23	423.2	121.7	1470.6	30	434.9	130.3	1490.1
	35	25	425.6	128.9	1458.2				

図-4 スランプとw/c



り去つてもそのままの型を保つてゐる。軟らかく引くほど崩壊や流出現象も伴ひ傾斜角は小さくなる。プラスチックオコンクリートになると型を保つ力がより強くなり取り去つて表面がふくらみ、傾斜角は90°以上に達する。上記のことと参考に検討すると、 $\text{PA} = 40\%$ では傾斜角が55°からで崩落する。で大きくなる。 $\text{PA} = 60\%$ および $80\%$ では $\gamma_c = 32\%$ と36%の間に90°と90°以上が存在するが、 $\gamma_c = 40\%$ になると流出現象を起し傾斜角は小さくなる。

### 3). コーンフロー試験の結果おもひ考察

コーンフロー試験によつて測定した上面からのさかりぬき結果を検討してみると、スランプ試験の場合とほぼ同様の傾向を示す。コーンフロー一値について図-6より説明すると、 $\text{PA} = 40\%$ では $\gamma_c$ に関係なく25~29mmに近く、 $\text{PA} = 60\%$ では $\gamma_c$ の関係が僅かにあらわれ、 $\text{PA} = 80\%$ では $\gamma_c$ によって大きく変化してゐる。コーンを取り去つた直後と15回落下運動を与えた後のコーンフロー値の差より材料の粒度に抵抗する要素を考察した結果、 $\gamma_c = 32\%$ において差が大きくなる。これらの理由は硬練りのためコーンを取り去つて直後は原型であるものが15回の落下運動のため崩れて大きくなるためである。 $\gamma_c = 36\%$ と40%では直後と崩れ15回落下を与えておらず粒度しか変化しなかった。したがつてこの装置は今後改良の必要がある。

### (6). 空気量の測定結果

空気量の測定結果、 $\text{PA} = 40\%$ は空気量が15%以上となり空気室圧力方法では測定不可能である。たゞ、 $\text{PA} = 60\%$ では粒径Ⅲ、Ⅱ、Ⅰ、Ⅳの順に小さくなっている。でも少し影響があるようである。 $\text{PA} = 80\%$ になるとセメント量が大きくなり骨材の空隙がヤーストで飽和され空気量は1~2%となる。

### (7). あとがき

これらコンクリートのワーカビリティーについては、三者の測定を行ふ。だが、通常のコンクリートのワーカビリティーといえどものは非常に少なく、このワーカビリティーは、試料の粒度が起らすかつ仕上げの容易さスランプ0~2cm、傾斜角90°程度のものか望ましく思われる。配合計算は、 $\gamma_c = 30\sim 34\%$ と $\text{PA} = 50\sim 70\%$ の範囲で粒径Ⅳ、Ⅲを採用、混和材添加は経済的に有利望ましい。

参考文献：道路研究会、内務省土木局「砂石舗装標準方書」昭和6年発行

図-5 傾斜角と $\gamma_c$

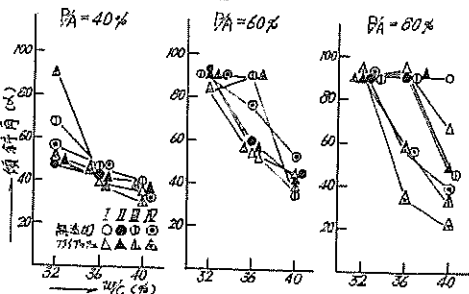


図-6 コーンフロー値と $\gamma_c$

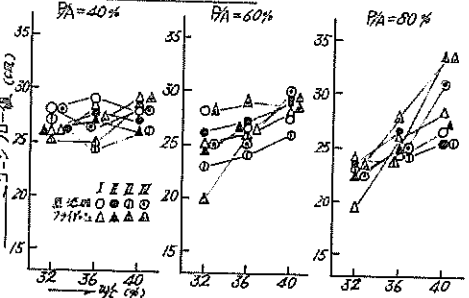


表-4

PA (%)	$\gamma_c$ (%)	混 添加				フライアッシュ			
		I	II	III	IV	I	II	III	IV
60	32	—	11.0	13.0	3.9	9.4	9.4	10.0	2.3
	36	—	6.9	10.0	1.3	4.3	6.9	8.1	1.7
	40	2.6	7.0	4.0	1.7	0.4	5.0	4.4	1.7
80	32	—	1.5	1.5	0.8	1.8	1.7	1.1	1.0
	36	—	1.2	1.4	0.8	1.7	1.5	1.1	1.5
	40	1.9	1.1	1.5	1.5	2.3	1.5	1.6	1.5